

# GLÓWNY INSPEKTORAT OCHRONY ŚRODOWISKA

ul. Wawelska 52/54, 00 – 922 Warszawa

## CENTRALNE LABORATORIUM BADAWCZE

### ODDZIAŁ W KATOWICACH

ul. Wita Stwosza 2, 40 - 036 Katowice

### PRACOWNIA W CZĘSTOCHOWIE

ul. Rząsawska 24/28, 42 - 200 Częstochowa

Strona 1/6 Raportu z badań Nr 22/2019/PMŚ

## RAPORT Z BADAŃ Nr 22/2019/PMŚ

Pomiary monitoringowe i ocena poziomów pól elektromagnetycznych w obszarze klasyfikacji miejsc dostępnych dla ludności

**Pomiary monitoringowe poziomów pól elektromagnetycznych  
w przedziale częstotliwości  
100 kHz – 3 GHz  
(składowej elektrycznej E)  
w środowisku,  
wykonane dnia 27 sierpnia 2019 r.  
na terenie zabudowy mieszkaniowej  
w  
ŁAZACH  
Gmina Łazy (miejsko - wiejska)  
powiat zawierciański  
(woj. śląskie)**

**Punkt pomiarowy poziomów pól elektromagnetycznych P1**

Wyniki badań dotyczą wyłącznie badanego obiektu.

Niniejsze opracowanie zawiera wyniki badań nieakredytowanych.

Raport z badań nie może być powielane inaczej niż w całości bez pisemnej zgody Kierownika Pracowni.

Pracownia jest akredytowana przez Polskie Centrum Akredytacji i posiada certyfikat nr AB 188.

**Państwowy Monitoring Środowiska, 2019 rok**

Niniejszy dokument sporządzono dla Departamentu Monitoringu Środowiska GIOŚ w Warszawie – Regionalnego Wydziału Monitoringu Środowiska w Katowicach, 40 – 036 Katowice, ul. Wita Stwosza 2, na podstawie wzajemnego porozumienia stron w przedmiotowej sprawie<sup>\*)</sup>

<sup>\*)</sup> *Podjęcie oraz realizacja tytułowego projektu badawczego – pomiarów, analizy i oceny poziomów pól elektromagnetycznych w środowisku: w trybie realizacji czynności ustawowych Państwowego Monitoringu Środowiska, w ramach wzajemnej współpracy międzywydziałowej Departamentu Monitoringu Środowiska GIOŚ w Warszawie – Regionalnego Wydziału Monitoringu Środowiska w Katowicach, 40 – 036 Katowice, ul. Wita Stwosza 2 oraz Centralnego Laboratorium Badawczego GIOŚ – Oddział w Katowicach, Pracownia w Częstochowie, 42 – 200 Częstochowa, ul. Rząsawska 24/28, w myśl Ustawy z dnia 20 lipca 1991 r. o Inspekcji Ochrony Środowiska (t.j. Dz. U. 2019, Poz. 1355, z późn. zm.), a także przepisów związanych.*

## 1. PODSTAWA BADAŃ

Badania wykonano w ramach wzajemnej współpracy międzywydziałowej Departamentu Monitoringu Środowiska GIOŚ w Warszawie – Regionalnego Wydziału Monitoringu Środowiska w Katowicach, 40 – 036 Katowice, ul. Wita Stwosza 2 oraz Centralnego Laboratorium Badawczego GIOŚ – Oddział w Katowicach, Pracownia w Częstochowie, 42 – 200 Częstochowa, ul. Rząsawska 24/28.

## 2. CEL BADAŃ

Cel badań stanowiło określenie poziomów pól elektromagnetycznych w przedziale częstotliwości 100 kHz – 3 GHz (składowej *elektrycznej* E) w środowisku, w miejscach dostępnych dla ludności, na terenie obszaru zabudowy mieszkaniowej, położonej w centralnej części miasta Łazy, Gmina Łazy (miejsko – wiejska), powiat zawierciański (woj. śląskie), w rozumieniu wytycznych Rozporządzenia Ministra Środowiska z dnia 12 listopada 2007 r. (Dz. U. Nr 221, Poz. 1645), w trybie realizacji czynności ustawowych Programu Państwowego Monitoringu Środowiska na lata 2016 – 2020, aut. Departamentu Monitoringu Środowiska, Głównego Inspektoratu Ochrony Środowiska, wyd. GIOŚ w Warszawie, Warszawa, 2015 rok, Podsystemu Monitoringu Pól Elektromagnetycznych w Środowisku, w myśl art. 123 Ustawy z dnia 27 kwietnia 2001 r. Prawo Ochrony Środowiska (t.j. Dz. U. 2019, Poz. 1396, z późn. zm.) oraz art. 23 ust. 3. pkt 1 Ustawy z dnia 20 lipca 1991 r. o Inspekcji Ochrony Środowiska (t.j. Dz. U. 2019, Poz. 1355, z późn. zm.), w latach 2016 – 2020, w obszarze województwa śląskiego.

## 3. TEREN BADAŃ

Punkt pomiarowy **P1** poziomów pól elektromagnetycznych w środowisku zlokalizowano w granicach administracyjnych miasta Łazy, należącego do powiatu zawierciańskiego, w centralnej jego części, przy ul. Częstochowskiej. Sondę pomiarową umieszczono na wysokości h: 2 m n.p.t. W sąsiedztwie punktu pomiarowego **P1** zagospodarowanie terenu stanowi zabudowa mieszkaniowa wielorodzinna, pięciokondygnacyjna, przy ul. Jesionowej oraz ogródki działkowe. Najbliższa zabudowa mieszkaniowa znajduje się w kierunku wschodnim (E), w odległości 14 m względem punktu pomiarowego **P1**. W kierunku zachodnim (W), za jezdnią dróg publicznych, ul. Częstochowskiej i ul. Kolejowej, znajdują się ogródki działkowe, a poza nimi przebiega Linia Kolejowa Nr 1, rel. Warszawa Zachodnia – Katowice, w odcinku Zawiercie – Dąbrowa Górnicza Ząbkowice.

W promieniu  $d \leq 300$  m od punktu pomiarowego nie znajdują się żadne instalacje radiokomunikacyjne, radiolokacyjne, radionawigacyjne, emitujące pola elektromagnetyczne do środowiska.

Klasyfikacja rodzaju terenu wg wytycznych przedmiotowego Rozporządzenia:

*Pozostałe miasta (poniżej 50 tys. mieszkańców)*

Nomenklatura jednostki terytorialnej (NTS):

*Łazy 5.2.24.50.16.05.4*

Współrzędne geogr. (GPS) punktu pomiarowego poziomów pól elektromagnetycznych w środowisku:

*N 50° 25' 45,9"*  
*E 19° 23' 09,0";*

Wysokość lokalizacji punktu pomiarowego:

*h: 2,0 [m] n.p.t.;*

Odległość punktu pomiarowego od elewacji najbliższych obiektów mieszkalnych zabudowy mieszkaniowej - wielorodzinnej, zlokalizowanych wzdłuż realizowanego przekroju pomiarowego poziomów pól elektromagnetycznych w środowisku:

*l = 14 [m] - od elewacji budynku mieszkalnego wielorodzinnego, posesja – ul. Jesionowa 9;*

Lokalizacja punktu pomiarowego poziomów pól elektromagnetycznych w środowisku – skwer zieleni przed budynkiem mieszkalnym wielorodzinnym, pięciokondygnacyjnym, posesja – ul. Jesionowa 9 w Łazach.

#### **4. METODYKA BADAŃ**

Rozporządzenie Ministra Środowiska z dnia 12 listopada 2007 r. w sprawie zakresu i sposobu prowadzenia okresowych badań poziomów pól elektromagnetycznych w środowisku (Dz. U. Nr 221, Poz. 1645).

#### **5. WYPOSAŻENIE POMIAROWE**

Pomiarów poziomów pól elektromagnetycznych częstotliwości 100 kHz – 3 GHz (składowej *elektrycznej*) w środowisku dokonano przy użyciu szerokopasmowego miernika natężenia pola elektromagnetycznego Narda Broadband Field Meter NBM-550, prod. Narda Safety Test Solutions GmbH, Niemcy;

Pomiarów warunków meteorologicznych dokonano przy pomocy automatycznej stacji pogodowej KESTREL 5500, Nielsen - Kellerman Co., USA;

Szczegółowe dane identyfikacyjne przyrządów przedstawiono w Tabeli 1;

Tabela 1

Pomiary poziomów pól elektromagnetycznych częstotliwości 100 kHz – 3 GHz (składowej <i>elektrycznej</i> ) w środowisku		Pomiary warunków meteorologicznych w środowisku	
Przyrząd pomiarowy	Typ: Broadband Field Meter NBM-550 P/N: 2401/01 S/N: B-0507 Producent: Narda Safety Test Solutions GmbH, Niemcy;	Przyrząd pomiarowy	Typ: KESTREL 5500 S/N: 2131640 Producent: Nielsen - Kellerman Co., USA
Sonda pomiarowa	Typ: EF0391, <i>E-Field</i> P/N: 2402/01 S/N: A-0636 Producent: j.w. Zakres: 100 kHz – 3 GHz Charakterystyka częstotliwościowa czułości: +/- 1 dB (1MHz – 1 GHz) +/- 1,25dB (1GHz – 2,45 GHz)		
Data i czasokres pomiarów	27-08-2019 r.	Wyniki pomiarów (wartość średnia) :	
	11:52 ÷ 13:52	T [°C]	<b>30,1</b>
		RH [ % ]	<b>50,8</b>
Częstotliwość próbkowania	f: 10 sec.	Adnotacje: Pogodnie; Brak opadów atmosferycznych	

Zastosowane przyrządy pomiarowe poziomów pól elektromagnetycznych wraz sondami pomiarowymi pól elektromagnetycznych oraz przyrząd pomiarowy warunków atmosferycznych (automatyczna stacja pogodowa) posiadają stosowne świadectwa wzorcowania, tj.:

Narda Broadband Field Meter NBM-550, P/N 2401/01, S/N B-0507, z sondami pola Probe EF0391, *E-Field*, P/N 2402/01, S/N A-0636:

- Świadectwo Wzorcowania nr: LWiMP/W/059/19 z dnia 07 marca 2019 r., wydane przez Laboratorium Wzorców i Metrologii Pola Elektromagnetycznego (LWiMP) Politechnika Wrocławska (AP 078);

Automatyczna stacja pogodowa KESTREL 5500, Nielsen - Kellerman Co., USA, S/N 2131640:

- Świadectwa Wzorcowania nr:
  - 57331/2018 z dnia 10 września 2018 r. – termohigrometr,
  - 57346/2018 z dnia 10 września 2018 r. – barometr,
  - 57312/2018 z dnia 10 września 2018 r. – anemometr wiatraczkowy,

Zastosowana sonda pomiarowa poziomów pól posiada sferyczną charakterystykę kierunkową, a w trakcie realizacji badań znajdowała się na wysokości 2 m n.p.t., na dielektrycznym statywie, w odległości  $d > 100$  m od rzutu anten instalacji radiokomunikacyjnych na powierzchnię terenu, zgodnie z wymaganiami przedmiotowego Rozporządzenia.

**6. INFORMACJE NA TEMAT INSTALACJI  
RADIOKOMUNIKACYJNYCH, RADIOŁOKACYJNYCH,  
RADIONAWIGACYJNYCH  
REJONU BADAŃ PÓL ELEKTROMAGNETYCZNYCH \*)**

(\* - w rozumieniu wymagań przedmiotowego Rozporządzenia)

Nie dotyczy.

*W promieniu  $d \leq 300$  m od punktu pomiarowego P1, nie są zlokalizowane żadne instalacje radiokomunikacyjne, radiolokacyjne, radionawigacyjne, emitujące pola elektromagnetyczne do środowiska..*

**7. WYNIKI BADAŃ**

**Wyniki pomiarów poziomów pól elektromagnetycznych  
częstotliwości  
100 kHz – 3 GHz  
(składowej elektrycznej E)  
w środowisku**

**Tabela 2**

Lp.	Punkt pomiarowy poziomów pól elektromagnetycznych w środowisku	Natężenie pola elektrycznego  E **) [V/m]	Niepewność pomiaru  U <sub>E 0,95</sub> [V/m]
1.	P1 Łazy ul. Częstochowska Gmina Łazy (miejsko – wiejska) powiat zawierciański (woj. śląskie)	0,93	± 0,28

**Objaśnienia:**

E\*\*) [V/m] – średnia wartość arytmetyczna wartości skutecznych natężeń pól elektrycznych promieniowania elektromagnetycznego w zakresie częstotliwości 100 kHz – 3 GHz, w danym punkcie obserwacji, w środowisku.

## 8. ZAŁĄCZNIKI

1. *Raport pomiarowy Narda NBM – 550*  
- w postaci elektronicznej  
- zarchiwizowany w siedzibie Centralnego Laboratorium Badawczego  
GIOŚ – Oddział w Katowicach, Pracownia w Częstochowie  
(wg wzoru);
2. *Fotografie rejonu badań, szt. 3;*
3. *Szkic sytuacyjny rejonu badań (Ryc. 1).*

Wykonujący badania:

<b>1. Wojciech Klama – Specjalista</b>	–
--	---

Osoba autoryzująca raport:

<i>Pieczęć i podpis</i>
-------------------------

Zatwierdził:

<i>Pieczęć i podpis</i>
-------------------------

Częstochowa, dn. 26.06.2020 r.

**KONIEC RAPORTU**

**Instrument / Site**

---

Meter	Probe	
Model: NBM-550	Model: EF0391	
S/N: B-0507	S/N: A-0636	
Calibration Due Date 05/15/2020	Calibration Due Date 05/16/2020	

Site	Coordinates
Łazy P-1 Gmina Łazy (miejska) powiat zawierciański (woj. śląskie)	Latitude: 50.42948 Longitude: 19.38608

**Comment**

Pomiary monitoringowe poziomów pól elektromagnetycznych w przedziale częstotliwości 100 kHz - 3 GHz (składowej elektrycznej E, V/m), w środowisku, wykonane dnia 27 sierpnia 2019 r., na terenie zabudowy mieszkaniowej, Łazy, Gmina Łazy (wiejska), powiat zawierciański (woj. śląskie);  
Państwowy Monitoring Pól Elektromagnetycznych w Środowisku;  
Główny Inspektorat Ochrony Środowiska;  
Rok kalendarzowy 2019.

## Measured Values

---

### Zoomed

Timer: Start Time 11:52:10 AM, Period 2h 0' 0", Interval 10s

Index	Date/Time	Zero	Max (E-Field)	Avg (E-Field)	Min (E-Field)
1	08/27/2019 11:52:20 AM		0.9813 V/m	0.8817 V/m	0.6869 V/m
2	08/27/2019 11:52:30 AM		1.053 V/m	0.9609 V/m	0.7832 V/m
3	08/27/2019 11:52:40 AM		1.048 V/m	0.9676 V/m	0.8846 V/m
4	08/27/2019 11:52:50 AM		1.045 V/m	0.9144 V/m	0.7972 V/m
5	08/27/2019 11:53:00 AM		1.091 V/m	0.9908 V/m	0.8914 V/m
6	08/27/2019 11:53:10 AM		1.067 V/m	0.9204 V/m	0.7633 V/m
7	08/27/2019 11:53:20 AM		1.061 V/m	0.9133 V/m	0.8396 V/m
8	08/27/2019 11:53:30 AM		1.132 V/m	0.9597 V/m	0.8439 V/m
9	08/27/2019 11:53:40 AM		1.080 V/m	0.9402 V/m	0.7776 V/m
10	08/27/2019 11:53:50 AM		0.9713 V/m	0.8956 V/m	0.8024 V/m
11	08/27/2019 11:54:00 AM		0.9954 V/m	0.8693 V/m	0.7528 V/m
12	08/27/2019 11:54:10 AM		1.021 V/m	0.8915 V/m	0.7840 V/m
13	08/27/2019 11:54:20 AM		1.090 V/m	0.9308 V/m	0.7924 V/m
14	08/27/2019 11:54:30 AM		0.9954 V/m	0.8835 V/m	0.7301 V/m
15	08/27/2019 11:54:40 AM		1.063 V/m	0.9380 V/m	0.7702 V/m
16	08/27/2019 11:54:50 AM		0.9849 V/m	0.9021 V/m	0.8224 V/m
17	08/27/2019 11:55:00 AM		1.039 V/m	0.9426 V/m	0.8871 V/m
18	08/27/2019 11:55:10 AM		1.058 V/m	0.9594 V/m	0.8425 V/m
19	08/27/2019 11:55:20 AM		1.140 V/m	0.9943 V/m	0.8702 V/m
20	08/27/2019 11:55:30 AM		1.078 V/m	0.9708 V/m	0.8899 V/m
21	08/27/2019 11:55:40 AM		1.047 V/m	0.9667 V/m	0.8721 V/m
22	08/27/2019 11:55:50 AM		1.027 V/m	0.9017 V/m	0.8095 V/m
23	08/27/2019 11:56:00 AM		1.052 V/m	0.9416 V/m	0.8065 V/m
24	08/27/2019 11:56:10 AM		0.9887 V/m	0.9226 V/m	0.8243 V/m
25	08/27/2019 11:56:20 AM		1.036 V/m	0.9141 V/m	0.8386 V/m
26	08/27/2019 11:56:30 AM		0.9968 V/m	0.9040 V/m	0.8170 V/m
27	08/27/2019 11:56:40 AM		1.003 V/m	0.9265 V/m	0.8163 V/m
28	08/27/2019 11:56:50 AM		1.085 V/m	0.9650 V/m	0.8448 V/m
29	08/27/2019 11:57:00 AM		1.074 V/m	0.9890 V/m	0.8890 V/m
30	08/27/2019 11:57:10 AM		1.039 V/m	0.9463 V/m	0.8590 V/m
31	08/27/2019 11:57:20 AM		1.076 V/m	0.9722 V/m	0.8721 V/m
32	08/27/2019 11:57:30 AM		1.029 V/m	0.9630 V/m	0.8942 V/m
33	08/27/2019 11:57:40 AM		1.081 V/m	0.9968 V/m	0.9058 V/m
34	08/27/2019 11:57:50 AM		1.094 V/m	1.016 V/m	0.9448 V/m
35	08/27/2019 11:58:00 AM		1.085 V/m	1.031 V/m	0.9708 V/m
36	08/27/2019 11:58:10 AM		1.061 V/m	0.9772 V/m	0.9049 V/m
37	08/27/2019 11:58:20 AM		1.007 V/m	0.9294 V/m	0.8831 V/m
38	08/27/2019 11:58:30 AM		1.010 V/m	0.9251 V/m	0.8333 V/m
39	08/27/2019 11:58:40 AM		0.9947 V/m	0.9078 V/m	0.8072 V/m
40	08/27/2019 11:58:50 AM		1.055 V/m	0.9655 V/m	0.8683 V/m
41	08/27/2019 11:59:00 AM		1.062 V/m	0.9668 V/m	0.8676 V/m
42	08/27/2019 11:59:10 AM		1.034 V/m	0.9788 V/m	0.8997 V/m
43	08/27/2019 11:59:20 AM		1.069 V/m	0.9854 V/m	0.9224 V/m
44	08/27/2019 11:59:30 AM		1.048 V/m	0.9474 V/m	0.8830 V/m
45	08/27/2019 11:59:40 AM		1.065 V/m	0.9201 V/m	0.8010 V/m
46	08/27/2019 11:59:50 AM		1.012 V/m	0.8950 V/m	0.7829 V/m
47	08/27/2019 12:00:00 PM		1.051 V/m	0.9563 V/m	0.8796 V/m
48	08/27/2019 12:00:10 PM		1.050 V/m	0.9444 V/m	0.8333 V/m



Index	Date/Time	Zero	Max (E-Field)	Avg (E-Field)	Min (E-Field)
49	08/27/2019 12:00:20 PM		1.040 V/m	0.9145 V/m	0.8220 V/m
50	08/27/2019 12:00:30 PM		1.018 V/m	0.9259 V/m	0.8176 V/m
51	08/27/2019 12:00:40 PM		1.035 V/m	0.9405 V/m	0.8412 V/m
52	08/27/2019 12:00:50 PM		1.002 V/m	0.9403 V/m	0.8425 V/m
53	08/27/2019 12:01:00 PM		1.064 V/m	0.9690 V/m	0.8821 V/m
54	08/27/2019 12:01:10 PM		1.068 V/m	0.9645 V/m	0.8809 V/m
55	08/27/2019 12:01:20 PM		1.009 V/m	0.9177 V/m	0.8139 V/m
56	08/27/2019 12:01:30 PM		1.028 V/m	0.9005 V/m	0.7130 V/m
57	08/27/2019 12:01:40 PM		1.057 V/m	0.9430 V/m	0.7741 V/m
58	08/27/2019 12:01:50 PM		1.069 V/m	0.9610 V/m	0.8546 V/m
59	08/27/2019 12:02:00 PM		1.052 V/m	0.9666 V/m	0.8213 V/m
60	08/27/2019 12:02:10 PM		1.065 V/m	0.9860 V/m	0.8955 V/m
61	08/27/2019 12:02:20 PM		1.137 V/m	1.008 V/m	0.8806 V/m
62	08/27/2019 12:02:30 PM		1.086 V/m	0.9939 V/m	0.8654 V/m
63	08/27/2019 12:02:40 PM		1.081 V/m	0.9784 V/m	0.8491 V/m
64	08/27/2019 12:02:50 PM		1.047 V/m	0.8775 V/m	0.7783 V/m
65	08/27/2019 12:03:00 PM		1.031 V/m	0.9144 V/m	0.7982 V/m
66	08/27/2019 12:03:10 PM		1.035 V/m	0.8996 V/m	0.7395 V/m
67	08/27/2019 12:03:20 PM		1.098 V/m	0.9235 V/m	0.8081 V/m
68	08/27/2019 12:03:30 PM		0.9846 V/m	0.8767 V/m	0.7829 V/m
69	08/27/2019 12:03:40 PM		1.017 V/m	0.8818 V/m	0.7554 V/m
70	08/27/2019 12:03:50 PM		1.047 V/m	0.9357 V/m	0.8333 V/m
71	08/27/2019 12:04:00 PM		1.020 V/m	0.9242 V/m	0.8438 V/m
72	08/27/2019 12:04:10 PM		1.025 V/m	0.9002 V/m	0.7850 V/m
73	08/27/2019 12:04:20 PM		1.075 V/m	0.9208 V/m	0.7579 V/m
74	08/27/2019 12:04:30 PM		0.9919 V/m	0.8695 V/m	0.7744 V/m
75	08/27/2019 12:04:40 PM		0.9611 V/m	0.8470 V/m	0.7647 V/m
76	08/27/2019 12:04:50 PM		0.9544 V/m	0.8619 V/m	0.7207 V/m
77	08/27/2019 12:05:00 PM		1.011 V/m	0.9260 V/m	0.8343 V/m
78	08/27/2019 12:05:10 PM		0.9550 V/m	0.8909 V/m	0.8287 V/m
79	08/27/2019 12:05:20 PM		1.031 V/m	0.9287 V/m	0.8287 V/m
80	08/27/2019 12:05:30 PM		1.049 V/m	0.9388 V/m	0.8439 V/m
81	08/27/2019 12:05:40 PM		1.019 V/m	0.9408 V/m	0.8478 V/m
82	08/27/2019 12:05:50 PM		1.012 V/m	0.9292 V/m	0.8532 V/m
83	08/27/2019 12:06:00 PM		1.039 V/m	0.9504 V/m	0.8896 V/m
84	08/27/2019 12:06:10 PM		1.052 V/m	0.9322 V/m	0.8575 V/m
85	08/27/2019 12:06:20 PM		1.068 V/m	0.9380 V/m	0.8568 V/m
86	08/27/2019 12:06:30 PM		1.077 V/m	0.9566 V/m	0.8533 V/m
87	08/27/2019 12:06:40 PM		1.040 V/m	0.9590 V/m	0.8815 V/m
88	08/27/2019 12:06:50 PM		1.022 V/m	0.9413 V/m	0.8590 V/m
89	08/27/2019 12:07:00 PM		1.094 V/m	0.9913 V/m	0.8606 V/m
90	08/27/2019 12:07:10 PM		1.100 V/m	0.9426 V/m	0.8415 V/m
91	08/27/2019 12:07:20 PM		0.9804 V/m	0.9042 V/m	0.8098 V/m
92	08/27/2019 12:07:30 PM		0.9987 V/m	0.9317 V/m	0.8695 V/m
93	08/27/2019 12:07:40 PM		1.047 V/m	0.9309 V/m	0.8257 V/m
94	08/27/2019 12:07:50 PM		0.9949 V/m	0.9091 V/m	0.8389 V/m
95	08/27/2019 12:08:00 PM		1.113 V/m	0.9312 V/m	0.8326 V/m
96	08/27/2019 12:08:10 PM		0.9562 V/m	0.8727 V/m	0.7874 V/m
97	08/27/2019 12:08:20 PM		1.042 V/m	0.9197 V/m	0.8445 V/m
98	08/27/2019 12:08:30 PM		1.019 V/m	0.9182 V/m	0.8247 V/m
99	08/27/2019 12:08:40 PM		1.029 V/m	0.9340 V/m	0.8671 V/m
100	08/27/2019 12:08:50 PM		1.006 V/m	0.9257 V/m	0.8169 V/m
101	08/27/2019 12:09:00 PM		1.047 V/m	0.9152 V/m	0.8136 V/m
102	08/27/2019 12:09:10 PM		1.033 V/m	0.9297 V/m	0.8552 V/m

Index	Date/Time	Zero	Max (E-Field)	Avg (E-Field)	Min (E-Field)
103	08/27/2019 12:09:20 PM		1.038 V/m	0.9333 V/m	0.8532 V/m
104	08/27/2019 12:09:30 PM		0.9610 V/m	0.8708 V/m	0.7892 V/m
105	08/27/2019 12:09:40 PM		0.9553 V/m	0.8828 V/m	0.7582 V/m
106	08/27/2019 12:09:50 PM		1.021 V/m	0.8810 V/m	0.7885 V/m
107	08/27/2019 12:10:00 PM		1.029 V/m	0.9189 V/m	0.8206 V/m
108	08/27/2019 12:10:10 PM		1.054 V/m	0.9490 V/m	0.8883 V/m
109	08/27/2019 12:10:20 PM		1.030 V/m	0.9542 V/m	0.8865 V/m
110	08/27/2019 12:10:30 PM		1.072 V/m	0.9388 V/m	0.8667 V/m
111	08/27/2019 12:10:40 PM		1.092 V/m	0.9724 V/m	0.8471 V/m
112	08/27/2019 12:10:50 PM		1.101 V/m	0.9934 V/m	0.8522 V/m
113	08/27/2019 12:11:00 PM		1.084 V/m	0.9646 V/m	0.8609 V/m
114	08/27/2019 12:11:10 PM		1.035 V/m	0.9458 V/m	0.8551 V/m
115	08/27/2019 12:11:20 PM		1.052 V/m	0.9496 V/m	0.8196 V/m
116	08/27/2019 12:11:30 PM		1.055 V/m	0.9485 V/m	0.8464 V/m
117	08/27/2019 12:11:40 PM		1.115 V/m	1.025 V/m	0.9018 V/m
118	08/27/2019 12:11:50 PM		1.111 V/m	0.9862 V/m	0.8597 V/m
119	08/27/2019 12:12:00 PM		1.086 V/m	0.9444 V/m	0.8283 V/m
120	08/27/2019 12:12:10 PM		1.009 V/m	0.9281 V/m	0.8565 V/m
121	08/27/2019 12:12:20 PM		1.032 V/m	0.9322 V/m	0.8532 V/m
122	08/27/2019 12:12:30 PM		1.064 V/m	0.9786 V/m	0.8802 V/m
123	08/27/2019 12:12:40 PM		1.113 V/m	0.9650 V/m	0.8727 V/m
124	08/27/2019 12:12:50 PM		1.012 V/m	0.9381 V/m	0.8078 V/m
125	08/27/2019 12:13:00 PM		1.010 V/m	0.9257 V/m	0.8536 V/m
126	08/27/2019 12:13:10 PM		1.056 V/m	0.9423 V/m	0.8812 V/m
127	08/27/2019 12:13:20 PM		1.131 V/m	1.005 V/m	0.8474 V/m
128	08/27/2019 12:13:30 PM		1.105 V/m	0.9772 V/m	0.8874 V/m
129	08/27/2019 12:13:40 PM		1.065 V/m	0.9776 V/m	0.9185 V/m
130	08/27/2019 12:13:50 PM		1.003 V/m	0.8995 V/m	0.8333 V/m
131	08/27/2019 12:14:00 PM		1.019 V/m	0.9186 V/m	0.8149 V/m
132	08/27/2019 12:14:10 PM		1.039 V/m	0.9391 V/m	0.8214 V/m
133	08/27/2019 12:14:20 PM		0.9846 V/m	0.8948 V/m	0.8210 V/m
134	08/27/2019 12:14:30 PM		0.9501 V/m	0.8699 V/m	0.7758 V/m
135	08/27/2019 12:14:40 PM		1.027 V/m	0.8846 V/m	0.7615 V/m
136	08/27/2019 12:14:50 PM		1.088 V/m	1.012 V/m	0.9384 V/m
137	08/27/2019 12:15:00 PM		1.042 V/m	0.9521 V/m	0.8458 V/m
138	08/27/2019 12:15:10 PM		1.043 V/m	0.9237 V/m	0.7701 V/m
139	08/27/2019 12:15:20 PM		1.016 V/m	0.9380 V/m	0.8189 V/m
140	08/27/2019 12:15:30 PM		0.9896 V/m	0.8936 V/m	0.7669 V/m
141	08/27/2019 12:15:40 PM		1.023 V/m	0.9199 V/m	0.8503 V/m
142	08/27/2019 12:15:50 PM		1.044 V/m	0.9399 V/m	0.8247 V/m
143	08/27/2019 12:16:00 PM		1.110 V/m	1.003 V/m	0.8976 V/m
144	08/27/2019 12:16:10 PM		1.030 V/m	0.9374 V/m	0.8477 V/m
145	08/27/2019 12:16:20 PM		1.046 V/m	0.9013 V/m	0.7615 V/m
146	08/27/2019 12:16:30 PM		0.9419 V/m	0.8718 V/m	0.7579 V/m
147	08/27/2019 12:16:40 PM		1.006 V/m	0.8872 V/m	0.7787 V/m
148	08/27/2019 12:16:50 PM		1.017 V/m	0.8740 V/m	0.7421 V/m
149	08/27/2019 12:17:00 PM		0.9795 V/m	0.8623 V/m	0.7207 V/m
150	08/27/2019 12:17:10 PM		1.054 V/m	0.8983 V/m	0.7575 V/m
151	08/27/2019 12:17:20 PM		1.058 V/m	0.9263 V/m	0.8455 V/m
152	08/27/2019 12:17:30 PM		1.099 V/m	0.9471 V/m	0.8054 V/m
153	08/27/2019 12:17:40 PM		1.063 V/m	0.9931 V/m	0.9337 V/m
154	08/27/2019 12:17:50 PM		1.077 V/m	1.028 V/m	0.9858 V/m
155	08/27/2019 12:18:00 PM		1.086 V/m	0.9402 V/m	0.8412 V/m
156	08/27/2019 12:18:10 PM		1.084 V/m	0.9538 V/m	0.8033 V/m

Index	Date/Time	Zero	Max (E-Field)	Avg (E-Field)	Min (E-Field)
157	08/27/2019 12:18:20 PM		1.062 V/m	0.9579 V/m	0.8583 V/m
158	08/27/2019 12:18:30 PM		1.023 V/m	0.9339 V/m	0.8135 V/m
159	08/27/2019 12:18:40 PM		1.023 V/m	0.9688 V/m	0.8994 V/m
160	08/27/2019 12:18:50 PM		1.107 V/m	0.9663 V/m	0.8343 V/m
161	08/27/2019 12:19:00 PM		1.119 V/m	1.033 V/m	0.9364 V/m
162	08/27/2019 12:19:10 PM		1.109 V/m	1.033 V/m	0.9631 V/m
163	08/27/2019 12:19:20 PM		1.117 V/m	1.057 V/m	0.9888 V/m
164	08/27/2019 12:19:30 PM		1.081 V/m	1.014 V/m	0.8796 V/m
165	08/27/2019 12:19:40 PM		1.060 V/m	0.9696 V/m	0.8737 V/m
166	08/27/2019 12:19:50 PM		1.039 V/m	0.9810 V/m	0.9165 V/m
167	08/27/2019 12:20:00 PM		1.101 V/m	1.005 V/m	0.9034 V/m
168	08/27/2019 12:20:10 PM		1.089 V/m	1.037 V/m	0.9897 V/m
169	08/27/2019 12:20:20 PM		1.070 V/m	1.012 V/m	0.9739 V/m
170	08/27/2019 12:20:30 PM		1.071 V/m	0.9413 V/m	0.8197 V/m
171	08/27/2019 12:20:40 PM		1.002 V/m	0.9531 V/m	0.8784 V/m
172	08/27/2019 12:20:50 PM		1.078 V/m	0.9485 V/m	0.8661 V/m
173	08/27/2019 12:21:00 PM		0.9893 V/m	0.8876 V/m	0.8000 V/m
174	08/27/2019 12:21:10 PM		0.9871 V/m	0.9286 V/m	0.8591 V/m
175	08/27/2019 12:21:20 PM		1.034 V/m	0.9327 V/m	0.8406 V/m
176	08/27/2019 12:21:30 PM		1.044 V/m	0.9719 V/m	0.8677 V/m
177	08/27/2019 12:21:40 PM		1.121 V/m	0.9845 V/m	0.8730 V/m
178	08/27/2019 12:21:50 PM		1.029 V/m	0.9290 V/m	0.8516 V/m
179	08/27/2019 12:22:00 PM		1.031 V/m	0.9338 V/m	0.8497 V/m
180	08/27/2019 12:22:10 PM		0.9687 V/m	0.8790 V/m	0.8112 V/m
181	08/27/2019 12:22:20 PM		0.9125 V/m	0.8321 V/m	0.7651 V/m
182	08/27/2019 12:22:30 PM		0.9730 V/m	0.8625 V/m	0.7723 V/m
183	08/27/2019 12:22:40 PM		0.9716 V/m	0.8671 V/m	0.7669 V/m
184	08/27/2019 12:22:50 PM		0.9750 V/m	0.8871 V/m	0.7968 V/m
185	08/27/2019 12:23:00 PM		0.9714 V/m	0.8633 V/m	0.7658 V/m
186	08/27/2019 12:23:10 PM		0.9799 V/m	0.8907 V/m	0.7930 V/m
187	08/27/2019 12:23:20 PM		0.9812 V/m	0.8786 V/m	0.7622 V/m
188	08/27/2019 12:23:30 PM		1.012 V/m	0.8640 V/m	0.7680 V/m
189	08/27/2019 12:23:40 PM		1.008 V/m	0.9103 V/m	0.7815 V/m
190	08/27/2019 12:23:50 PM		1.027 V/m	0.9438 V/m	0.8564 V/m
191	08/27/2019 12:24:00 PM		1.122 V/m	1.035 V/m	0.8852 V/m
192	08/27/2019 12:24:10 PM		1.045 V/m	0.9551 V/m	0.8793 V/m
193	08/27/2019 12:24:20 PM		1.028 V/m	0.9011 V/m	0.7458 V/m
194	08/27/2019 12:24:30 PM		0.9673 V/m	0.8863 V/m	0.7937 V/m
195	08/27/2019 12:24:40 PM		0.9849 V/m	0.8653 V/m	0.7726 V/m
196	08/27/2019 12:24:50 PM		1.034 V/m	0.9556 V/m	0.8806 V/m
197	08/27/2019 12:25:00 PM		0.9820 V/m	0.8755 V/m	0.7961 V/m
198	08/27/2019 12:25:10 PM		1.008 V/m	0.9144 V/m	0.7899 V/m
199	08/27/2019 12:25:20 PM		1.015 V/m	0.9188 V/m	0.8129 V/m
200	08/27/2019 12:25:30 PM		1.082 V/m	0.9527 V/m	0.8619 V/m
201	08/27/2019 12:25:40 PM		0.9870 V/m	0.8928 V/m	0.8003 V/m
202	08/27/2019 12:25:50 PM		1.039 V/m	0.9202 V/m	0.7944 V/m
203	08/27/2019 12:26:00 PM		0.9935 V/m	0.8799 V/m	0.7762 V/m
204	08/27/2019 12:26:10 PM		0.9431 V/m	0.8541 V/m	0.7701 V/m
205	08/27/2019 12:26:20 PM		1.013 V/m	0.9209 V/m	0.7608 V/m
206	08/27/2019 12:26:30 PM		1.005 V/m	0.9144 V/m	0.8112 V/m
207	08/27/2019 12:26:40 PM		0.9544 V/m	0.8674 V/m	0.7413 V/m
208	08/27/2019 12:26:50 PM		0.9340 V/m	0.8490 V/m	0.7376 V/m
209	08/27/2019 12:27:00 PM		1.076 V/m	0.9163 V/m	0.8189 V/m
210	08/27/2019 12:27:10 PM		0.9869 V/m	0.8961 V/m	0.7871 V/m

Index	Date/Time	Zero	Max (E-Field)	Avg (E-Field)	Min (E-Field)
211	08/27/2019 12:27:20 PM		1.007 V/m	0.9045 V/m	0.7850 V/m
212	08/27/2019 12:27:30 PM		0.9694 V/m	0.8980 V/m	0.8425 V/m
213	08/27/2019 12:27:40 PM		0.9918 V/m	0.9285 V/m	0.8670 V/m
214	08/27/2019 12:27:50 PM		1.066 V/m	0.9875 V/m	0.8629 V/m
215	08/27/2019 12:28:00 PM		1.049 V/m	0.9686 V/m	0.8651 V/m
216	08/27/2019 12:28:10 PM		1.090 V/m	0.9480 V/m	0.8471 V/m
217	08/27/2019 12:28:20 PM		1.068 V/m	0.9866 V/m	0.8793 V/m
218	08/27/2019 12:28:30 PM		1.068 V/m	0.9614 V/m	0.8200 V/m
219	08/27/2019 12:28:40 PM		1.100 V/m	0.9563 V/m	0.8510 V/m
220	08/27/2019 12:28:50 PM		1.085 V/m	0.9915 V/m	0.8933 V/m
221	08/27/2019 12:29:00 PM		1.037 V/m	0.9388 V/m	0.8173 V/m
222	08/27/2019 12:29:10 PM		0.9694 V/m	0.8930 V/m	0.8116 V/m
223	08/27/2019 12:29:20 PM		1.024 V/m	0.9303 V/m	0.7804 V/m
224	08/27/2019 12:29:30 PM		0.9765 V/m	0.9124 V/m	0.8313 V/m
225	08/27/2019 12:29:40 PM		1.063 V/m	0.9688 V/m	0.8532 V/m
226	08/27/2019 12:29:50 PM		1.054 V/m	0.9616 V/m	0.8720 V/m
227	08/27/2019 12:30:00 PM		1.024 V/m	0.9503 V/m	0.8689 V/m
228	08/27/2019 12:30:10 PM		1.039 V/m	0.9469 V/m	0.8330 V/m
229	08/27/2019 12:30:20 PM		1.043 V/m	0.9565 V/m	0.8558 V/m
230	08/27/2019 12:30:30 PM		1.013 V/m	0.9304 V/m	0.8159 V/m
231	08/27/2019 12:30:40 PM		0.9980 V/m	0.9223 V/m	0.8270 V/m
232	08/27/2019 12:30:50 PM		1.145 V/m	1.003 V/m	0.8402 V/m
233	08/27/2019 12:31:00 PM		1.112 V/m	1.030 V/m	0.9275 V/m
234	08/27/2019 12:31:10 PM		1.086 V/m	1.034 V/m	0.9829 V/m
235	08/27/2019 12:31:20 PM		1.030 V/m	0.9450 V/m	0.8664 V/m
236	08/27/2019 12:31:30 PM		1.041 V/m	0.9735 V/m	0.8877 V/m
237	08/27/2019 12:31:40 PM		1.110 V/m	1.031 V/m	0.9358 V/m
238	08/27/2019 12:31:50 PM		1.190 V/m	1.106 V/m	1.023 V/m
239	08/27/2019 12:32:00 PM		1.187 V/m	1.077 V/m	1.003 V/m
240	08/27/2019 12:32:10 PM		1.126 V/m	1.028 V/m	0.9428 V/m
241	08/27/2019 12:32:20 PM		1.072 V/m	0.9807 V/m	0.9161 V/m
242	08/27/2019 12:32:30 PM		1.045 V/m	0.9642 V/m	0.8393 V/m
243	08/27/2019 12:32:40 PM		1.030 V/m	0.9727 V/m	0.8998 V/m
244	08/27/2019 12:32:50 PM		1.100 V/m	0.9571 V/m	0.8491 V/m
245	08/27/2019 12:33:00 PM		1.015 V/m	0.9065 V/m	0.8422 V/m
246	08/27/2019 12:33:10 PM		1.042 V/m	0.9305 V/m	0.8339 V/m
247	08/27/2019 12:33:20 PM		1.055 V/m	0.9405 V/m	0.8584 V/m
248	08/27/2019 12:33:30 PM		1.028 V/m	0.9142 V/m	0.8071 V/m
249	08/27/2019 12:33:40 PM		0.9158 V/m	0.8453 V/m	0.7454 V/m
250	08/27/2019 12:33:50 PM		0.9929 V/m	0.8796 V/m	0.7822 V/m
251	08/27/2019 12:34:00 PM		0.9673 V/m	0.8667 V/m	0.7961 V/m
252	08/27/2019 12:34:10 PM		0.9969 V/m	0.9386 V/m	0.8065 V/m
253	08/27/2019 12:34:20 PM		0.9835 V/m	0.9213 V/m	0.8441 V/m
254	08/27/2019 12:34:30 PM		1.050 V/m	0.9279 V/m	0.7916 V/m
255	08/27/2019 12:34:40 PM		1.020 V/m	0.9172 V/m	0.8590 V/m
256	08/27/2019 12:34:50 PM		1.012 V/m	0.9213 V/m	0.8196 V/m
257	08/27/2019 12:35:00 PM		0.9927 V/m	0.9090 V/m	0.8376 V/m
258	08/27/2019 12:35:10 PM		1.017 V/m	0.9490 V/m	0.8639 V/m
259	08/27/2019 12:35:20 PM		1.038 V/m	0.9719 V/m	0.9000 V/m
260	08/27/2019 12:35:30 PM		1.052 V/m	0.9774 V/m	0.8852 V/m
261	08/27/2019 12:35:40 PM		1.039 V/m	0.9369 V/m	0.8287 V/m
262	08/27/2019 12:35:50 PM		1.024 V/m	0.9364 V/m	0.8336 V/m
263	08/27/2019 12:36:00 PM		1.021 V/m	0.9607 V/m	0.9095 V/m
264	08/27/2019 12:36:10 PM		1.041 V/m	0.9660 V/m	0.8721 V/m

Index	Date/Time	Zero	Max (E-Field)	Avg (E-Field)	Min (E-Field)
265	08/27/2019 12:36:20 PM		1.082 V/m	0.9980 V/m	0.9113 V/m
266	08/27/2019 12:36:30 PM		1.050 V/m	0.9837 V/m	0.9481 V/m
267	08/27/2019 12:36:40 PM		1.046 V/m	0.9592 V/m	0.8701 V/m
268	08/27/2019 12:36:50 PM		1.016 V/m	0.9182 V/m	0.8250 V/m
269	08/27/2019 12:37:00 PM		0.9979 V/m	0.9043 V/m	0.8075 V/m
270	08/27/2019 12:37:10 PM		0.9960 V/m	0.8858 V/m	0.7498 V/m
271	08/27/2019 12:37:20 PM		0.9644 V/m	0.8560 V/m	0.7557 V/m
272	08/27/2019 12:37:30 PM		0.9862 V/m	0.8693 V/m	0.8040 V/m
273	08/27/2019 12:37:40 PM		1.031 V/m	0.9590 V/m	0.8625 V/m
274	08/27/2019 12:37:50 PM		1.019 V/m	0.9251 V/m	0.8600 V/m
275	08/27/2019 12:38:00 PM		1.010 V/m	0.9155 V/m	0.8317 V/m
276	08/27/2019 12:38:10 PM		1.035 V/m	0.9006 V/m	0.8203 V/m
277	08/27/2019 12:38:20 PM		1.014 V/m	0.8601 V/m	0.7701 V/m
278	08/27/2019 12:38:30 PM		1.009 V/m	0.8610 V/m	0.7417 V/m
279	08/27/2019 12:38:40 PM		1.023 V/m	0.9173 V/m	0.8132 V/m
280	08/27/2019 12:38:50 PM		1.006 V/m	0.9172 V/m	0.8075 V/m
281	08/27/2019 12:39:00 PM		1.003 V/m	0.9307 V/m	0.8506 V/m
282	08/27/2019 12:39:10 PM		0.9842 V/m	0.8981 V/m	0.8183 V/m
283	08/27/2019 12:39:20 PM		1.049 V/m	0.9198 V/m	0.8529 V/m
284	08/27/2019 12:39:30 PM		1.038 V/m	0.9126 V/m	0.8529 V/m
285	08/27/2019 12:39:40 PM		0.9682 V/m	0.9043 V/m	0.8313 V/m
286	08/27/2019 12:39:50 PM		1.005 V/m	0.9231 V/m	0.8581 V/m
287	08/27/2019 12:40:00 PM		0.9871 V/m	0.9008 V/m	0.8058 V/m
288	08/27/2019 12:40:10 PM		0.9730 V/m	0.9148 V/m	0.8287 V/m
289	08/27/2019 12:40:20 PM		0.9614 V/m	0.8874 V/m	0.8051 V/m
290	08/27/2019 12:40:30 PM		0.9587 V/m	0.8810 V/m	0.8109 V/m
291	08/27/2019 12:40:40 PM		0.9940 V/m	0.9052 V/m	0.7804 V/m
292	08/27/2019 12:40:50 PM		0.9863 V/m	0.8439 V/m	0.7309 V/m
293	08/27/2019 12:41:00 PM		0.9894 V/m	0.8711 V/m	0.7608 V/m
294	08/27/2019 12:41:10 PM		0.9938 V/m	0.8782 V/m	0.7513 V/m
295	08/27/2019 12:41:20 PM		1.010 V/m	0.8713 V/m	0.7811 V/m
296	08/27/2019 12:41:30 PM		1.009 V/m	0.8954 V/m	0.7723 V/m
297	08/27/2019 12:41:40 PM		0.9547 V/m	0.8434 V/m	0.7068 V/m
298	08/27/2019 12:41:50 PM		1.049 V/m	0.8905 V/m	0.8109 V/m
299	08/27/2019 12:42:00 PM		1.036 V/m	0.9518 V/m	0.7899 V/m
300	08/27/2019 12:42:10 PM		1.044 V/m	0.9714 V/m	0.8237 V/m
301	08/27/2019 12:42:20 PM		1.080 V/m	0.9355 V/m	0.7766 V/m
302	08/27/2019 12:42:30 PM		1.011 V/m	0.8986 V/m	0.7575 V/m
303	08/27/2019 12:42:40 PM		1.069 V/m	0.9703 V/m	0.8237 V/m
304	08/27/2019 12:42:50 PM		1.053 V/m	0.9487 V/m	0.7825 V/m
305	08/27/2019 12:43:00 PM		0.9899 V/m	0.9084 V/m	0.7776 V/m
306	08/27/2019 12:43:10 PM		0.9639 V/m	0.8516 V/m	0.7339 V/m
307	08/27/2019 12:43:20 PM		1.054 V/m	0.9476 V/m	0.8346 V/m
308	08/27/2019 12:43:30 PM		1.063 V/m	0.9775 V/m	0.8539 V/m
309	08/27/2019 12:43:40 PM		1.104 V/m	0.9759 V/m	0.8896 V/m
310	08/27/2019 12:43:50 PM		1.023 V/m	0.9429 V/m	0.7701 V/m
311	08/27/2019 12:44:00 PM		1.024 V/m	0.9389 V/m	0.7793 V/m
312	08/27/2019 12:44:10 PM		1.002 V/m	0.9439 V/m	0.8945 V/m
313	08/27/2019 12:44:20 PM		0.9834 V/m	0.9285 V/m	0.8584 V/m
314	08/27/2019 12:44:30 PM		1.003 V/m	0.9208 V/m	0.8263 V/m
315	08/27/2019 12:44:40 PM		0.9576 V/m	0.9025 V/m	0.8464 V/m
316	08/27/2019 12:44:50 PM		1.066 V/m	0.9338 V/m	0.8609 V/m
317	08/27/2019 12:45:00 PM		1.006 V/m	0.9450 V/m	0.8552 V/m
318	08/27/2019 12:45:10 PM		0.9813 V/m	0.9340 V/m	0.8680 V/m

Index	Date/Time	Zero	Max (E-Field)	Avg (E-Field)	Min (E-Field)
319	08/27/2019 12:45:20 PM		1.031 V/m	0.9529 V/m	0.8607 V/m
320	08/27/2019 12:45:30 PM		1.018 V/m	0.9537 V/m	0.8865 V/m
321	08/27/2019 12:45:40 PM		1.032 V/m	0.9813 V/m	0.8562 V/m
322	08/27/2019 12:45:50 PM		1.012 V/m	0.9565 V/m	0.8494 V/m
323	08/27/2019 12:46:00 PM		1.064 V/m	0.9903 V/m	0.8651 V/m
324	08/27/2019 12:46:10 PM		1.043 V/m	0.9529 V/m	0.8481 V/m
325	08/27/2019 12:46:20 PM		1.030 V/m	0.9540 V/m	0.8353 V/m
326	08/27/2019 12:46:30 PM		1.081 V/m	0.9791 V/m	0.8756 V/m
327	08/27/2019 12:46:40 PM		1.062 V/m	0.9850 V/m	0.8936 V/m
328	08/27/2019 12:46:50 PM		1.044 V/m	0.9700 V/m	0.9104 V/m
329	08/27/2019 12:47:00 PM		1.058 V/m	0.9898 V/m	0.8651 V/m
330	08/27/2019 12:47:10 PM		1.139 V/m	1.020 V/m	0.9128 V/m
331	08/27/2019 12:47:20 PM		1.107 V/m	0.9588 V/m	0.8613 V/m
332	08/27/2019 12:47:30 PM		1.040 V/m	0.9275 V/m	0.7797 V/m
333	08/27/2019 12:47:40 PM		1.009 V/m	0.9039 V/m	0.7958 V/m
334	08/27/2019 12:47:50 PM		1.032 V/m	0.9284 V/m	0.8210 V/m
335	08/27/2019 12:48:00 PM		1.083 V/m	0.9830 V/m	0.8412 V/m
336	08/27/2019 12:48:10 PM		1.031 V/m	0.9622 V/m	0.8886 V/m
337	08/27/2019 12:48:20 PM		1.021 V/m	0.9795 V/m	0.9025 V/m
338	08/27/2019 12:48:30 PM		1.023 V/m	0.9456 V/m	0.8768 V/m
339	08/27/2019 12:48:40 PM		1.044 V/m	0.9532 V/m	0.8920 V/m
340	08/27/2019 12:48:50 PM		1.027 V/m	0.9118 V/m	0.7691 V/m
341	08/27/2019 12:49:00 PM		0.9722 V/m	0.8905 V/m	0.7999 V/m
342	08/27/2019 12:49:10 PM		1.022 V/m	0.8845 V/m	0.7982 V/m
343	08/27/2019 12:49:20 PM		1.036 V/m	0.9225 V/m	0.8217 V/m
344	08/27/2019 12:49:30 PM		1.072 V/m	0.9361 V/m	0.8432 V/m
345	08/27/2019 12:49:40 PM		1.008 V/m	0.9386 V/m	0.8458 V/m
346	08/27/2019 12:49:50 PM		1.047 V/m	0.9194 V/m	0.8415 V/m
347	08/27/2019 12:50:00 PM		0.9840 V/m	0.8669 V/m	0.7413 V/m
348	08/27/2019 12:50:10 PM		1.025 V/m	0.9170 V/m	0.7804 V/m
349	08/27/2019 12:50:20 PM		1.018 V/m	0.9036 V/m	0.8030 V/m
350	08/27/2019 12:50:30 PM		1.039 V/m	0.9420 V/m	0.8064 V/m
351	08/27/2019 12:50:40 PM		1.079 V/m	0.9750 V/m	0.8849 V/m
352	08/27/2019 12:50:50 PM		1.016 V/m	0.9581 V/m	0.9071 V/m
353	08/27/2019 12:51:00 PM		1.087 V/m	0.9992 V/m	0.9212 V/m
354	08/27/2019 12:51:10 PM		1.059 V/m	0.9707 V/m	0.8902 V/m
355	08/27/2019 12:51:20 PM		1.033 V/m	0.9615 V/m	0.9028 V/m
356	08/27/2019 12:51:30 PM		1.023 V/m	0.9507 V/m	0.8988 V/m
357	08/27/2019 12:51:40 PM		1.045 V/m	0.9621 V/m	0.8830 V/m
358	08/27/2019 12:51:50 PM		1.028 V/m	0.9501 V/m	0.8843 V/m
359	08/27/2019 12:52:00 PM		1.031 V/m	0.9754 V/m	0.9155 V/m
360	08/27/2019 12:52:10 PM		1.040 V/m	0.9318 V/m	0.8506 V/m
361	08/27/2019 12:52:20 PM		0.9910 V/m	0.9176 V/m	0.7965 V/m
362	08/27/2019 12:52:30 PM		0.9591 V/m	0.9082 V/m	0.8293 V/m
363	08/27/2019 12:52:40 PM		1.021 V/m	0.9642 V/m	0.8939 V/m
364	08/27/2019 12:52:50 PM		1.093 V/m	0.9903 V/m	0.9013 V/m
365	08/27/2019 12:53:00 PM		1.090 V/m	1.011 V/m	0.9382 V/m
366	08/27/2019 12:53:10 PM		1.023 V/m	0.9765 V/m	0.9396 V/m
367	08/27/2019 12:53:20 PM		1.071 V/m	0.9934 V/m	0.9295 V/m
368	08/27/2019 12:53:30 PM		1.021 V/m	0.9706 V/m	0.8967 V/m
369	08/27/2019 12:53:40 PM		1.062 V/m	0.9648 V/m	0.8737 V/m
370	08/27/2019 12:53:50 PM		1.022 V/m	0.9516 V/m	0.8644 V/m
371	08/27/2019 12:54:00 PM		1.026 V/m	0.9611 V/m	0.8695 V/m
372	08/27/2019 12:54:10 PM		0.9965 V/m	0.9236 V/m	0.8558 V/m

Index	Date/Time	Zero	Max (E-Field)	Avg (E-Field)	Min (E-Field)
373	08/27/2019 12:54:20 PM		0.9784 V/m	0.9008 V/m	0.8523 V/m
374	08/27/2019 12:54:30 PM		0.9599 V/m	0.9027 V/m	0.8317 V/m
375	08/27/2019 12:54:40 PM		0.9628 V/m	0.9107 V/m	0.8536 V/m
376	08/27/2019 12:54:50 PM		0.9469 V/m	0.8872 V/m	0.8126 V/m
377	08/27/2019 12:55:00 PM		0.9957 V/m	0.9214 V/m	0.8112 V/m
378	08/27/2019 12:55:10 PM		0.9982 V/m	0.9377 V/m	0.8793 V/m
379	08/27/2019 12:55:20 PM		1.008 V/m	0.9368 V/m	0.8871 V/m
380	08/27/2019 12:55:30 PM		1.035 V/m	0.9548 V/m	0.8679 V/m
381	08/27/2019 12:55:40 PM		1.056 V/m	0.9777 V/m	0.9227 V/m
382	08/27/2019 12:55:50 PM		1.011 V/m	0.9496 V/m	0.8765 V/m
383	08/27/2019 12:56:00 PM		0.9944 V/m	0.9282 V/m	0.8730 V/m
384	08/27/2019 12:56:10 PM		1.021 V/m	0.9210 V/m	0.8389 V/m
385	08/27/2019 12:56:20 PM		0.9887 V/m	0.9382 V/m	0.8664 V/m
386	08/27/2019 12:56:30 PM		1.036 V/m	0.9616 V/m	0.8927 V/m
387	08/27/2019 12:56:40 PM		1.032 V/m	0.9692 V/m	0.8808 V/m
388	08/27/2019 12:56:50 PM		1.040 V/m	0.9729 V/m	0.9366 V/m
389	08/27/2019 12:57:00 PM		1.036 V/m	0.9760 V/m	0.8942 V/m
390	08/27/2019 12:57:10 PM		1.039 V/m	0.9785 V/m	0.9059 V/m
391	08/27/2019 12:57:20 PM		1.027 V/m	0.9573 V/m	0.8774 V/m
392	08/27/2019 12:57:30 PM		0.9762 V/m	0.8786 V/m	0.8089 V/m
393	08/27/2019 12:57:40 PM		0.9960 V/m	0.9102 V/m	0.8297 V/m
394	08/27/2019 12:57:50 PM		0.9420 V/m	0.8699 V/m	0.8020 V/m
395	08/27/2019 12:58:00 PM		0.9761 V/m	0.8949 V/m	0.8054 V/m
396	08/27/2019 12:58:10 PM		0.9952 V/m	0.9041 V/m	0.8386 V/m
397	08/27/2019 12:58:20 PM		1.046 V/m	0.9062 V/m	0.7927 V/m
398	08/27/2019 12:58:30 PM		0.9730 V/m	0.8845 V/m	0.7937 V/m
399	08/27/2019 12:58:40 PM		0.9905 V/m	0.8901 V/m	0.8044 V/m
400	08/27/2019 12:58:50 PM		0.9924 V/m	0.8752 V/m	0.7676 V/m
401	08/27/2019 12:59:00 PM		0.9243 V/m	0.8391 V/m	0.7666 V/m
402	08/27/2019 12:59:10 PM		0.9874 V/m	0.8385 V/m	0.7436 V/m
403	08/27/2019 12:59:20 PM		0.9707 V/m	0.8700 V/m	0.7868 V/m
404	08/27/2019 12:59:30 PM		1.032 V/m	0.8989 V/m	0.7836 V/m
405	08/27/2019 12:59:40 PM		0.9955 V/m	0.8817 V/m	0.7733 V/m
406	08/27/2019 12:59:50 PM		1.076 V/m	0.9783 V/m	0.8545 V/m
407	08/27/2019 01:00:00 PM		1.014 V/m	0.8963 V/m	0.7465 V/m
408	08/27/2019 01:00:10 PM		0.9835 V/m	0.8818 V/m	0.7861 V/m
409	08/27/2019 01:00:20 PM		1.011 V/m	0.9167 V/m	0.8310 V/m
410	08/27/2019 01:00:30 PM		1.065 V/m	0.9437 V/m	0.8180 V/m
411	08/27/2019 01:00:40 PM		1.040 V/m	0.9350 V/m	0.8095 V/m
412	08/27/2019 01:00:50 PM		1.065 V/m	0.9756 V/m	0.8967 V/m
413	08/27/2019 01:01:00 PM		1.080 V/m	0.9591 V/m	0.8494 V/m
414	08/27/2019 01:01:10 PM		0.9996 V/m	0.9290 V/m	0.8702 V/m
415	08/27/2019 01:01:20 PM		1.026 V/m	0.9302 V/m	0.8383 V/m
416	08/27/2019 01:01:30 PM		1.067 V/m	0.9896 V/m	0.9159 V/m
417	08/27/2019 01:01:40 PM		1.056 V/m	0.9835 V/m	0.9034 V/m
418	08/27/2019 01:01:50 PM		1.062 V/m	0.9849 V/m	0.9086 V/m
419	08/27/2019 01:02:00 PM		1.116 V/m	1.028 V/m	0.9593 V/m
420	08/27/2019 01:02:10 PM		1.121 V/m	1.041 V/m	0.9402 V/m
421	08/27/2019 01:02:20 PM		1.111 V/m	1.021 V/m	0.9481 V/m
422	08/27/2019 01:02:30 PM		1.078 V/m	0.9499 V/m	0.8657 V/m
423	08/27/2019 01:02:40 PM		0.9792 V/m	0.9100 V/m	0.8193 V/m
424	08/27/2019 01:02:50 PM		1.035 V/m	0.9343 V/m	0.7933 V/m
425	08/27/2019 01:03:00 PM		1.033 V/m	0.9453 V/m	0.8561 V/m
426	08/27/2019 01:03:10 PM		1.055 V/m	0.9627 V/m	0.8555 V/m

Index	Date/Time	Zero	Max (E-Field)	Avg (E-Field)	Min (E-Field)
427	08/27/2019 01:03:20 PM		1.011 V/m	0.9294 V/m	0.8549 V/m
428	08/27/2019 01:03:30 PM		0.9846 V/m	0.9143 V/m	0.8520 V/m
429	08/27/2019 01:03:40 PM		0.9779 V/m	0.8951 V/m	0.8041 V/m
430	08/27/2019 01:03:50 PM		1.015 V/m	0.8899 V/m	0.7629 V/m
431	08/27/2019 01:04:00 PM		0.9902 V/m	0.8966 V/m	0.7934 V/m
432	08/27/2019 01:04:10 PM		1.014 V/m	0.8934 V/m	0.8350 V/m
433	08/27/2019 01:04:20 PM		0.9725 V/m	0.8681 V/m	0.7804 V/m
434	08/27/2019 01:04:30 PM		0.9924 V/m	0.9057 V/m	0.7839 V/m
435	08/27/2019 01:04:40 PM		1.048 V/m	0.9053 V/m	0.7712 V/m
436	08/27/2019 01:04:50 PM		1.005 V/m	0.8216 V/m	0.7153 V/m
437	08/27/2019 01:05:00 PM		1.015 V/m	0.8844 V/m	0.7836 V/m
438	08/27/2019 01:05:10 PM		1.023 V/m	0.8764 V/m	0.7369 V/m
439	08/27/2019 01:05:20 PM		0.9545 V/m	0.8316 V/m	0.7517 V/m
440	08/27/2019 01:05:30 PM		0.9781 V/m	0.8386 V/m	0.7476 V/m
441	08/27/2019 01:05:40 PM		0.9325 V/m	0.8383 V/m	0.7454 V/m
442	08/27/2019 01:05:50 PM		1.007 V/m	0.8771 V/m	0.7741 V/m
443	08/27/2019 01:06:00 PM		1.016 V/m	0.8927 V/m	0.7727 V/m
444	08/27/2019 01:06:10 PM		0.9567 V/m	0.8837 V/m	0.7860 V/m
445	08/27/2019 01:06:20 PM		1.029 V/m	0.8956 V/m	0.7996 V/m
446	08/27/2019 01:06:30 PM		1.006 V/m	0.8810 V/m	0.7462 V/m
447	08/27/2019 01:06:40 PM		1.033 V/m	0.9053 V/m	0.7524 V/m
448	08/27/2019 01:06:50 PM		0.9941 V/m	0.9107 V/m	0.8366 V/m
449	08/27/2019 01:07:00 PM		1.005 V/m	0.9293 V/m	0.7822 V/m
450	08/27/2019 01:07:10 PM		0.9682 V/m	0.8871 V/m	0.7892 V/m
451	08/27/2019 01:07:20 PM		1.015 V/m	0.9377 V/m	0.8733 V/m
452	08/27/2019 01:07:30 PM		0.9918 V/m	0.9244 V/m	0.8260 V/m
453	08/27/2019 01:07:40 PM		1.032 V/m	0.8995 V/m	0.8313 V/m
454	08/27/2019 01:07:50 PM		1.064 V/m	0.9294 V/m	0.7822 V/m
455	08/27/2019 01:08:00 PM		0.9478 V/m	0.8568 V/m	0.7271 V/m
456	08/27/2019 01:08:10 PM		1.044 V/m	0.8997 V/m	0.7604 V/m
457	08/27/2019 01:08:20 PM		1.039 V/m	0.9504 V/m	0.7948 V/m
458	08/27/2019 01:08:30 PM		0.9899 V/m	0.9157 V/m	0.8234 V/m
459	08/27/2019 01:08:40 PM		1.127 V/m	0.9502 V/m	0.7691 V/m
460	08/27/2019 01:08:50 PM		1.034 V/m	0.9303 V/m	0.8194 V/m
461	08/27/2019 01:09:00 PM		1.030 V/m	0.9177 V/m	0.8247 V/m
462	08/27/2019 01:09:10 PM		1.083 V/m	0.9694 V/m	0.8340 V/m
463	08/27/2019 01:09:20 PM		1.070 V/m	0.9784 V/m	0.9077 V/m
464	08/27/2019 01:09:30 PM		1.023 V/m	0.9281 V/m	0.8438 V/m
465	08/27/2019 01:09:40 PM		0.9567 V/m	0.8578 V/m	0.7316 V/m
466	08/27/2019 01:09:50 PM		1.054 V/m	0.9389 V/m	0.7930 V/m
467	08/27/2019 01:10:00 PM		1.077 V/m	0.9753 V/m	0.8577 V/m
468	08/27/2019 01:10:10 PM		1.060 V/m	0.9474 V/m	0.8290 V/m
469	08/27/2019 01:10:20 PM		1.011 V/m	0.9280 V/m	0.8030 V/m
470	08/27/2019 01:10:30 PM		1.025 V/m	0.9719 V/m	0.8933 V/m
471	08/27/2019 01:10:40 PM		1.008 V/m	0.9154 V/m	0.8350 V/m
472	08/27/2019 01:10:50 PM		1.019 V/m	0.9062 V/m	0.8186 V/m
473	08/27/2019 01:11:00 PM		0.9662 V/m	0.8687 V/m	0.7590 V/m
474	08/27/2019 01:11:10 PM		0.9705 V/m	0.9014 V/m	0.8160 V/m
475	08/27/2019 01:11:20 PM		1.039 V/m	0.9115 V/m	0.8337 V/m
476	08/27/2019 01:11:30 PM		1.068 V/m	0.9765 V/m	0.8297 V/m
477	08/27/2019 01:11:40 PM		0.9927 V/m	0.8908 V/m	0.8037 V/m
478	08/27/2019 01:11:50 PM		1.030 V/m	0.9434 V/m	0.8552 V/m
479	08/27/2019 01:12:00 PM		1.016 V/m	0.9212 V/m	0.8497 V/m
480	08/27/2019 01:12:10 PM		1.048 V/m	0.9346 V/m	0.8214 V/m



<u>Index</u>	<u>Date/Time</u>	<u>Zero</u>	<u>Max (E-Field)</u>	<u>Avg (E-Field)</u>	<u>Min (E-Field)</u>
481	08/27/2019 01:12:20 PM		1.028 V/m	0.9025 V/m	0.7850 V/m
482	08/27/2019 01:12:30 PM		1.008 V/m	0.9269 V/m	0.8516 V/m
483	08/27/2019 01:12:40 PM		1.080 V/m	0.9653 V/m	0.8435 V/m
484	08/27/2019 01:12:50 PM		1.052 V/m	0.9962 V/m	0.8976 V/m
485	08/27/2019 01:13:00 PM		1.072 V/m	0.9649 V/m	0.8263 V/m
486	08/27/2019 01:13:10 PM		1.076 V/m	0.9459 V/m	0.8160 V/m
487	08/27/2019 01:13:20 PM		1.031 V/m	0.9082 V/m	0.7622 V/m
488	08/27/2019 01:13:30 PM		1.042 V/m	0.9104 V/m	0.7309 V/m
489	08/27/2019 01:13:40 PM		1.070 V/m	0.9538 V/m	0.8386 V/m
490	08/27/2019 01:13:50 PM		1.007 V/m	0.9130 V/m	0.8016 V/m
491	08/27/2019 01:14:00 PM		1.040 V/m	0.9572 V/m	0.8451 V/m
492	08/27/2019 01:14:10 PM		1.068 V/m	0.9652 V/m	0.8619 V/m
493	08/27/2019 01:14:20 PM		1.065 V/m	0.9746 V/m	0.8821 V/m
494	08/27/2019 01:14:30 PM		1.037 V/m	0.9552 V/m	0.8580 V/m
495	08/27/2019 01:14:40 PM		1.124 V/m	1.003 V/m	0.9056 V/m
496	08/27/2019 01:14:50 PM		1.098 V/m	1.017 V/m	0.9532 V/m
497	08/27/2019 01:15:00 PM		1.103 V/m	1.022 V/m	0.9384 V/m
498	08/27/2019 01:15:10 PM		1.063 V/m	0.9600 V/m	0.8337 V/m
499	08/27/2019 01:15:20 PM		1.053 V/m	0.9575 V/m	0.8095 V/m
500	08/27/2019 01:15:30 PM		1.046 V/m	0.9369 V/m	0.8399 V/m
501	08/27/2019 01:15:40 PM		1.118 V/m	0.9798 V/m	0.8727 V/m
502	08/27/2019 01:15:50 PM		1.037 V/m	0.9097 V/m	0.8078 V/m
503	08/27/2019 01:16:00 PM		1.052 V/m	0.9244 V/m	0.7920 V/m
504	08/27/2019 01:16:10 PM		1.094 V/m	0.9596 V/m	0.8574 V/m
505	08/27/2019 01:16:20 PM		1.005 V/m	0.9173 V/m	0.8257 V/m
506	08/27/2019 01:16:30 PM		0.9973 V/m	0.9061 V/m	0.8224 V/m
507	08/27/2019 01:16:40 PM		0.9865 V/m	0.8975 V/m	0.7773 V/m
508	08/27/2019 01:16:50 PM		0.9999 V/m	0.8934 V/m	0.7546 V/m
509	08/27/2019 01:17:00 PM		1.090 V/m	0.9534 V/m	0.8481 V/m
510	08/27/2019 01:17:10 PM		1.121 V/m	1.032 V/m	0.9257 V/m
511	08/27/2019 01:17:20 PM		1.064 V/m	0.9790 V/m	0.8680 V/m
512	08/27/2019 01:17:30 PM		1.098 V/m	1.002 V/m	0.9122 V/m
513	08/27/2019 01:17:40 PM		1.087 V/m	0.9708 V/m	0.8864 V/m
514	08/27/2019 01:17:50 PM		1.092 V/m	0.9510 V/m	0.8418 V/m
515	08/27/2019 01:18:00 PM		1.149 V/m	1.014 V/m	0.8945 V/m
516	08/27/2019 01:18:10 PM		1.104 V/m	0.9918 V/m	0.8824 V/m
517	08/27/2019 01:18:20 PM		1.089 V/m	0.9944 V/m	0.9058 V/m
518	08/27/2019 01:18:30 PM		1.096 V/m	0.9696 V/m	0.8653 V/m
519	08/27/2019 01:18:40 PM		1.073 V/m	1.023 V/m	0.9633 V/m
520	08/27/2019 01:18:50 PM		1.024 V/m	0.9441 V/m	0.8379 V/m
521	08/27/2019 01:19:00 PM		0.9823 V/m	0.8832 V/m	0.7975 V/m
522	08/27/2019 01:19:10 PM		0.9460 V/m	0.8540 V/m	0.7888 V/m
523	08/27/2019 01:19:20 PM		1.030 V/m	0.9455 V/m	0.7915 V/m
524	08/27/2019 01:19:30 PM		1.111 V/m	1.016 V/m	0.9434 V/m
525	08/27/2019 01:19:40 PM		1.094 V/m	0.9698 V/m	0.8532 V/m
526	08/27/2019 01:19:50 PM		1.042 V/m	0.9410 V/m	0.8243 V/m
527	08/27/2019 01:20:00 PM		1.029 V/m	0.9534 V/m	0.8584 V/m
528	08/27/2019 01:20:10 PM		1.041 V/m	0.8857 V/m	0.7622 V/m
529	08/27/2019 01:20:20 PM		0.9984 V/m	0.8828 V/m	0.7172 V/m
530	08/27/2019 01:20:30 PM		0.9932 V/m	0.9148 V/m	0.7864 V/m
531	08/27/2019 01:20:40 PM		1.072 V/m	0.9651 V/m	0.8664 V/m
532	08/27/2019 01:20:50 PM		1.024 V/m	0.8994 V/m	0.8353 V/m
533	08/27/2019 01:21:00 PM		0.9882 V/m	0.8943 V/m	0.7871 V/m
534	08/27/2019 01:21:10 PM		1.036 V/m	0.9350 V/m	0.7786 V/m

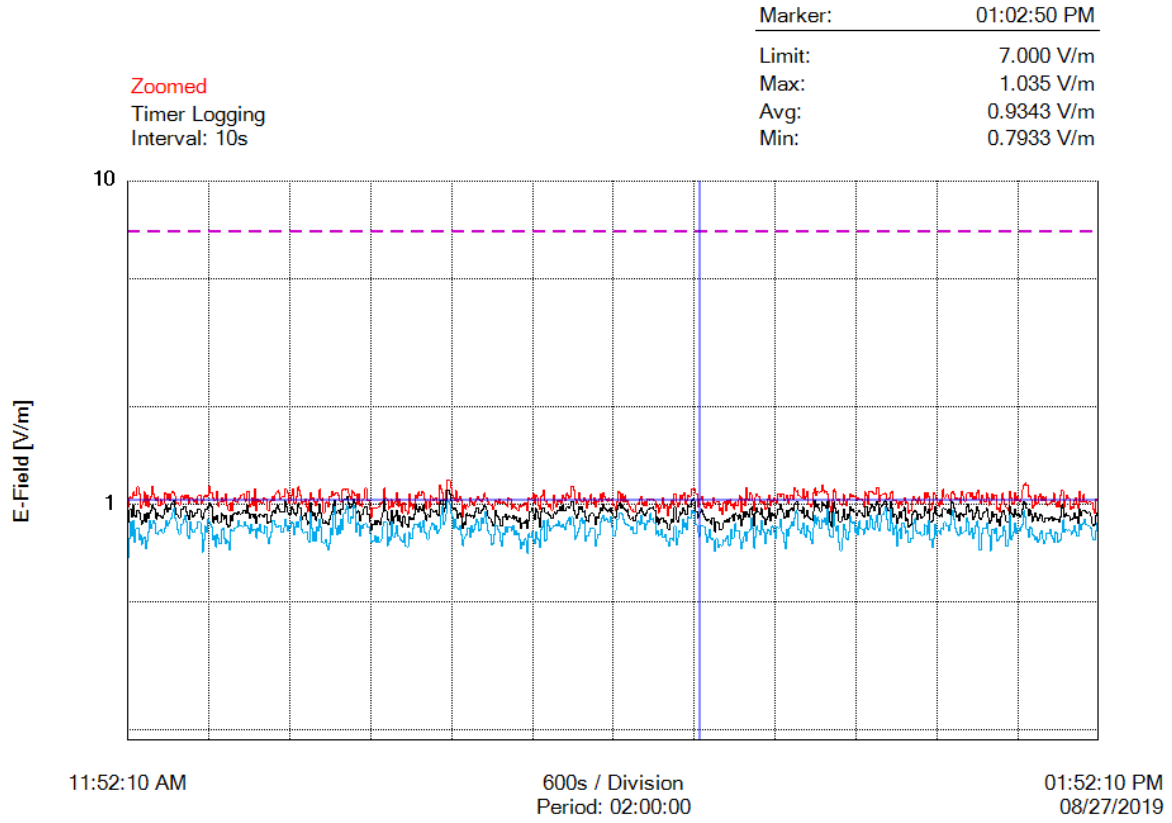
Index	Date/Time	Zero	Max (E-Field)	Avg (E-Field)	Min (E-Field)
535	08/27/2019 01:21:20 PM		1.033 V/m	0.9048 V/m	0.8176 V/m
536	08/27/2019 01:21:30 PM		1.073 V/m	0.9859 V/m	0.9107 V/m
537	08/27/2019 01:21:40 PM		1.055 V/m	0.9524 V/m	0.8840 V/m
538	08/27/2019 01:21:50 PM		1.068 V/m	0.9654 V/m	0.8749 V/m
539	08/27/2019 01:22:00 PM		1.053 V/m	0.9465 V/m	0.8812 V/m
540	08/27/2019 01:22:10 PM		1.060 V/m	0.9436 V/m	0.8156 V/m
541	08/27/2019 01:22:20 PM		1.032 V/m	0.9254 V/m	0.8480 V/m
542	08/27/2019 01:22:30 PM		1.049 V/m	0.9462 V/m	0.8037 V/m
543	08/27/2019 01:22:40 PM		1.036 V/m	0.9585 V/m	0.8874 V/m
544	08/27/2019 01:22:50 PM		1.037 V/m	0.9400 V/m	0.8418 V/m
545	08/27/2019 01:23:00 PM		1.027 V/m	0.9229 V/m	0.8349 V/m
546	08/27/2019 01:23:10 PM		0.9837 V/m	0.9134 V/m	0.8084 V/m
547	08/27/2019 01:23:20 PM		1.091 V/m	0.9820 V/m	0.8448 V/m
548	08/27/2019 01:23:30 PM		1.065 V/m	0.9869 V/m	0.8936 V/m
549	08/27/2019 01:23:40 PM		0.9974 V/m	0.9256 V/m	0.8369 V/m
550	08/27/2019 01:23:50 PM		1.094 V/m	0.9470 V/m	0.8464 V/m
551	08/27/2019 01:24:00 PM		1.094 V/m	0.9764 V/m	0.9200 V/m
552	08/27/2019 01:24:10 PM		1.092 V/m	0.9996 V/m	0.8982 V/m
553	08/27/2019 01:24:20 PM		1.082 V/m	0.9813 V/m	0.8451 V/m
554	08/27/2019 01:24:30 PM		1.076 V/m	0.9524 V/m	0.8357 V/m
555	08/27/2019 01:24:40 PM		1.073 V/m	0.9883 V/m	0.8806 V/m
556	08/27/2019 01:24:50 PM		1.125 V/m	1.022 V/m	0.9281 V/m
557	08/27/2019 01:25:00 PM		1.126 V/m	0.9985 V/m	0.8451 V/m
558	08/27/2019 01:25:10 PM		1.018 V/m	0.9318 V/m	0.8257 V/m
559	08/27/2019 01:25:20 PM		1.069 V/m	0.9796 V/m	0.8809 V/m
560	08/27/2019 01:25:30 PM		1.071 V/m	0.9952 V/m	0.9269 V/m
561	08/27/2019 01:25:40 PM		1.073 V/m	1.018 V/m	0.9518 V/m
562	08/27/2019 01:25:50 PM		1.081 V/m	1.024 V/m	0.9787 V/m
563	08/27/2019 01:26:00 PM		1.041 V/m	0.9757 V/m	0.8994 V/m
564	08/27/2019 01:26:10 PM		1.038 V/m	0.9546 V/m	0.8363 V/m
565	08/27/2019 01:26:20 PM		1.051 V/m	0.9556 V/m	0.8253 V/m
566	08/27/2019 01:26:30 PM		1.086 V/m	1.021 V/m	0.9627 V/m
567	08/27/2019 01:26:40 PM		1.093 V/m	0.9706 V/m	0.8714 V/m
568	08/27/2019 01:26:50 PM		1.032 V/m	0.9123 V/m	0.8054 V/m
569	08/27/2019 01:27:00 PM		1.025 V/m	0.9328 V/m	0.8428 V/m
570	08/27/2019 01:27:10 PM		1.030 V/m	0.9265 V/m	0.8638 V/m
571	08/27/2019 01:27:20 PM		1.010 V/m	0.8701 V/m	0.7436 V/m
572	08/27/2019 01:27:30 PM		0.9699 V/m	0.9090 V/m	0.8250 V/m
573	08/27/2019 01:27:40 PM		1.021 V/m	0.9489 V/m	0.8402 V/m
574	08/27/2019 01:27:50 PM		0.9943 V/m	0.9081 V/m	0.7846 V/m
575	08/27/2019 01:28:00 PM		1.021 V/m	0.9537 V/m	0.8765 V/m
576	08/27/2019 01:28:10 PM		1.049 V/m	0.9784 V/m	0.8513 V/m
577	08/27/2019 01:28:20 PM		1.010 V/m	0.8897 V/m	0.8156 V/m
578	08/27/2019 01:28:30 PM		1.016 V/m	0.9044 V/m	0.8286 V/m
579	08/27/2019 01:28:40 PM		0.9357 V/m	0.8513 V/m	0.7633 V/m
580	08/27/2019 01:28:50 PM		0.9602 V/m	0.8590 V/m	0.7647 V/m
581	08/27/2019 01:29:00 PM		0.9582 V/m	0.8671 V/m	0.7853 V/m
582	08/27/2019 01:29:10 PM		1.028 V/m	0.9286 V/m	0.7836 V/m
583	08/27/2019 01:29:20 PM		1.052 V/m	0.9493 V/m	0.8714 V/m
584	08/27/2019 01:29:30 PM		1.034 V/m	0.9601 V/m	0.9022 V/m
585	08/27/2019 01:29:40 PM		1.026 V/m	0.9461 V/m	0.8250 V/m
586	08/27/2019 01:29:50 PM		1.006 V/m	0.8994 V/m	0.8098 V/m
587	08/27/2019 01:30:00 PM		1.055 V/m	0.9311 V/m	0.8099 V/m
588	08/27/2019 01:30:10 PM		1.025 V/m	0.9281 V/m	0.8203 V/m

Index	Date/Time	Zero	Max (E-Field)	Avg (E-Field)	Min (E-Field)
589	08/27/2019 01:30:20 PM		1.003 V/m	0.9030 V/m	0.8010 V/m
590	08/27/2019 01:30:30 PM		1.009 V/m	0.9175 V/m	0.8044 V/m
591	08/27/2019 01:30:40 PM		1.088 V/m	0.9847 V/m	0.8626 V/m
592	08/27/2019 01:30:50 PM		1.044 V/m	0.9530 V/m	0.8584 V/m
593	08/27/2019 01:31:00 PM		1.087 V/m	0.9400 V/m	0.8088 V/m
594	08/27/2019 01:31:10 PM		1.059 V/m	0.9668 V/m	0.8899 V/m
595	08/27/2019 01:31:20 PM		0.9550 V/m	0.8834 V/m	0.7755 V/m
596	08/27/2019 01:31:30 PM		0.9627 V/m	0.8839 V/m	0.7794 V/m
597	08/27/2019 01:31:40 PM		1.007 V/m	0.8893 V/m	0.7350 V/m
598	08/27/2019 01:31:50 PM		1.084 V/m	0.9375 V/m	0.7832 V/m
599	08/27/2019 01:32:00 PM		1.070 V/m	0.9840 V/m	0.8698 V/m
600	08/27/2019 01:32:10 PM		1.035 V/m	0.9293 V/m	0.8054 V/m
601	08/27/2019 01:32:20 PM		1.008 V/m	0.9243 V/m	0.8297 V/m
602	08/27/2019 01:32:30 PM		0.9851 V/m	0.9166 V/m	0.8253 V/m
603	08/27/2019 01:32:40 PM		1.033 V/m	0.9290 V/m	0.8081 V/m
604	08/27/2019 01:32:50 PM		1.001 V/m	0.9162 V/m	0.8457 V/m
605	08/27/2019 01:33:00 PM		1.114 V/m	0.9703 V/m	0.8382 V/m
606	08/27/2019 01:33:10 PM		1.049 V/m	0.9679 V/m	0.8805 V/m
607	08/27/2019 01:33:20 PM		1.067 V/m	0.9629 V/m	0.8619 V/m
608	08/27/2019 01:33:30 PM		1.071 V/m	0.9382 V/m	0.8616 V/m
609	08/27/2019 01:33:40 PM		1.044 V/m	0.9645 V/m	0.8300 V/m
610	08/27/2019 01:33:50 PM		1.029 V/m	0.9328 V/m	0.8651 V/m
611	08/27/2019 01:34:00 PM		1.089 V/m	1.021 V/m	0.9242 V/m
612	08/27/2019 01:34:10 PM		1.092 V/m	1.006 V/m	0.9547 V/m
613	08/27/2019 01:34:20 PM		1.079 V/m	0.9768 V/m	0.8985 V/m
614	08/27/2019 01:34:30 PM		1.034 V/m	0.9468 V/m	0.8454 V/m
615	08/27/2019 01:34:40 PM		1.051 V/m	0.9150 V/m	0.8193 V/m
616	08/27/2019 01:34:50 PM		1.037 V/m	0.9277 V/m	0.8020 V/m
617	08/27/2019 01:35:00 PM		1.045 V/m	0.8894 V/m	0.8061 V/m
618	08/27/2019 01:35:10 PM		1.008 V/m	0.9413 V/m	0.8503 V/m
619	08/27/2019 01:35:20 PM		1.095 V/m	0.9274 V/m	0.8119 V/m
620	08/27/2019 01:35:30 PM		1.058 V/m	0.9177 V/m	0.8203 V/m
621	08/27/2019 01:35:40 PM		1.022 V/m	0.9311 V/m	0.8243 V/m
622	08/27/2019 01:35:50 PM		1.078 V/m	0.9790 V/m	0.9098 V/m
623	08/27/2019 01:36:00 PM		1.086 V/m	0.9967 V/m	0.8837 V/m
624	08/27/2019 01:36:10 PM		1.084 V/m	0.9492 V/m	0.8061 V/m
625	08/27/2019 01:36:20 PM		1.054 V/m	0.9542 V/m	0.8196 V/m
626	08/27/2019 01:36:30 PM		1.083 V/m	0.9622 V/m	0.8425 V/m
627	08/27/2019 01:36:40 PM		1.037 V/m	0.8973 V/m	0.7846 V/m
628	08/27/2019 01:36:50 PM		1.060 V/m	0.9159 V/m	0.8159 V/m
629	08/27/2019 01:37:00 PM		1.039 V/m	0.9427 V/m	0.8561 V/m
630	08/27/2019 01:37:10 PM		1.085 V/m	0.9861 V/m	0.8859 V/m
631	08/27/2019 01:37:20 PM		1.108 V/m	0.9533 V/m	0.8497 V/m
632	08/27/2019 01:37:30 PM		1.031 V/m	0.9068 V/m	0.7229 V/m
633	08/27/2019 01:37:40 PM		1.010 V/m	0.8975 V/m	0.7210 V/m
634	08/27/2019 01:37:50 PM		1.067 V/m	0.9107 V/m	0.8163 V/m
635	08/27/2019 01:38:00 PM		1.040 V/m	0.9427 V/m	0.8435 V/m
636	08/27/2019 01:38:10 PM		1.016 V/m	0.9495 V/m	0.8415 V/m
637	08/27/2019 01:38:20 PM		1.082 V/m	0.9730 V/m	0.8768 V/m
638	08/27/2019 01:38:30 PM		1.046 V/m	0.9124 V/m	0.8109 V/m
639	08/27/2019 01:38:40 PM		0.9954 V/m	0.8746 V/m	0.8013 V/m
640	08/27/2019 01:38:50 PM		1.023 V/m	0.8903 V/m	0.7195 V/m
641	08/27/2019 01:39:00 PM		1.073 V/m	0.9513 V/m	0.8369 V/m
642	08/27/2019 01:39:10 PM		1.038 V/m	0.9122 V/m	0.8340 V/m

Index	Date/Time	Zero	Max (E-Field)	Avg (E-Field)	Min (E-Field)
643	08/27/2019 01:39:20 PM		1.069 V/m	0.9336 V/m	0.8098 V/m
644	08/27/2019 01:39:30 PM		1.065 V/m	0.9313 V/m	0.8405 V/m
645	08/27/2019 01:39:40 PM		0.9673 V/m	0.8805 V/m	0.7715 V/m
646	08/27/2019 01:39:50 PM		0.9775 V/m	0.8966 V/m	0.7751 V/m
647	08/27/2019 01:40:00 PM		0.9477 V/m	0.8571 V/m	0.7940 V/m
648	08/27/2019 01:40:10 PM		0.9993 V/m	0.9139 V/m	0.7996 V/m
649	08/27/2019 01:40:20 PM		1.084 V/m	0.9518 V/m	0.7999 V/m
650	08/27/2019 01:40:30 PM		1.036 V/m	0.9583 V/m	0.8568 V/m
651	08/27/2019 01:40:40 PM		1.003 V/m	0.9237 V/m	0.8263 V/m
652	08/27/2019 01:40:50 PM		0.9781 V/m	0.8849 V/m	0.7428 V/m
653	08/27/2019 01:41:00 PM		0.9590 V/m	0.8852 V/m	0.7804 V/m
654	08/27/2019 01:41:10 PM		1.094 V/m	0.9876 V/m	0.9266 V/m
655	08/27/2019 01:41:20 PM		1.046 V/m	0.9424 V/m	0.7783 V/m
656	08/27/2019 01:41:30 PM		1.008 V/m	0.9290 V/m	0.7999 V/m
657	08/27/2019 01:41:40 PM		1.003 V/m	0.9103 V/m	0.8230 V/m
658	08/27/2019 01:41:50 PM		1.083 V/m	0.9673 V/m	0.8768 V/m
659	08/27/2019 01:42:00 PM		1.032 V/m	0.9327 V/m	0.8166 V/m
660	08/27/2019 01:42:10 PM		1.053 V/m	0.9223 V/m	0.8412 V/m
661	08/27/2019 01:42:20 PM		1.025 V/m	0.9350 V/m	0.8461 V/m
662	08/27/2019 01:42:30 PM		1.015 V/m	0.9121 V/m	0.8290 V/m
663	08/27/2019 01:42:40 PM		1.044 V/m	0.9293 V/m	0.8493 V/m
664	08/27/2019 01:42:50 PM		1.112 V/m	0.9691 V/m	0.8657 V/m
665	08/27/2019 01:43:00 PM		1.146 V/m	1.022 V/m	0.9553 V/m
666	08/27/2019 01:43:10 PM		1.162 V/m	1.008 V/m	0.9137 V/m
667	08/27/2019 01:43:20 PM		1.146 V/m	0.9739 V/m	0.8373 V/m
668	08/27/2019 01:43:30 PM		1.053 V/m	0.9190 V/m	0.7892 V/m
669	08/27/2019 01:43:40 PM		1.063 V/m	0.9619 V/m	0.8535 V/m
670	08/27/2019 01:43:50 PM		1.035 V/m	0.9330 V/m	0.8438 V/m
671	08/27/2019 01:44:00 PM		0.9764 V/m	0.8849 V/m	0.8050 V/m
672	08/27/2019 01:44:10 PM		0.9946 V/m	0.9153 V/m	0.8020 V/m
673	08/27/2019 01:44:20 PM		1.064 V/m	0.9377 V/m	0.7800 V/m
674	08/27/2019 01:44:30 PM		1.005 V/m	0.9120 V/m	0.7923 V/m
675	08/27/2019 01:44:40 PM		1.011 V/m	0.8927 V/m	0.7658 V/m
676	08/27/2019 01:44:50 PM		1.054 V/m	0.9051 V/m	0.7783 V/m
677	08/27/2019 01:45:00 PM		1.077 V/m	0.9318 V/m	0.8156 V/m
678	08/27/2019 01:45:10 PM		1.024 V/m	0.9185 V/m	0.8310 V/m
679	08/27/2019 01:45:20 PM		1.056 V/m	0.8844 V/m	0.7786 V/m
680	08/27/2019 01:45:30 PM		1.024 V/m	0.8839 V/m	0.7571 V/m
681	08/27/2019 01:45:40 PM		1.052 V/m	0.9085 V/m	0.7754 V/m
682	08/27/2019 01:45:50 PM		0.9948 V/m	0.9077 V/m	0.8149 V/m
683	08/27/2019 01:46:00 PM		0.9998 V/m	0.8915 V/m	0.8129 V/m
684	08/27/2019 01:46:10 PM		1.009 V/m	0.9039 V/m	0.8356 V/m
685	08/27/2019 01:46:20 PM		1.032 V/m	0.9177 V/m	0.7996 V/m
686	08/27/2019 01:46:30 PM		1.015 V/m	0.8868 V/m	0.7867 V/m
687	08/27/2019 01:46:40 PM		1.082 V/m	0.9070 V/m	0.7626 V/m
688	08/27/2019 01:46:50 PM		1.015 V/m	0.8939 V/m	0.8220 V/m
689	08/27/2019 01:47:00 PM		0.9820 V/m	0.9011 V/m	0.8136 V/m
690	08/27/2019 01:47:10 PM		1.023 V/m	0.9014 V/m	0.7644 V/m
691	08/27/2019 01:47:20 PM		0.9787 V/m	0.8845 V/m	0.7687 V/m
692	08/27/2019 01:47:30 PM		1.063 V/m	0.9122 V/m	0.7772 V/m
693	08/27/2019 01:47:40 PM		1.108 V/m	0.9895 V/m	0.8173 V/m
694	08/27/2019 01:47:50 PM		1.098 V/m	0.9736 V/m	0.8963 V/m
695	08/27/2019 01:48:00 PM		0.9826 V/m	0.9140 V/m	0.8179 V/m
696	08/27/2019 01:48:10 PM		1.035 V/m	0.9381 V/m	0.8382 V/m

<u>Index</u>	<u>Date/Time</u>	<u>Zero</u>	<u>Max (E-Field)</u>	<u>Avg (E-Field)</u>	<u>Min (E-Field)</u>
697	08/27/2019 01:48:20 PM		1.069 V/m	0.9226 V/m	0.8283 V/m
698	08/27/2019 01:48:30 PM		1.045 V/m	0.9205 V/m	0.8326 V/m
699	08/27/2019 01:48:40 PM		0.9642 V/m	0.8934 V/m	0.8250 V/m
700	08/27/2019 01:48:50 PM		0.9860 V/m	0.8999 V/m	0.8092 V/m
701	08/27/2019 01:49:00 PM		0.9741 V/m	0.9046 V/m	0.8247 V/m
702	08/27/2019 01:49:10 PM		1.030 V/m	0.9382 V/m	0.8619 V/m
703	08/27/2019 01:49:20 PM		1.046 V/m	0.9033 V/m	0.8196 V/m
704	08/27/2019 01:49:30 PM		0.9990 V/m	0.9149 V/m	0.7971 V/m
705	08/27/2019 01:49:40 PM		0.9778 V/m	0.8739 V/m	0.7999 V/m
706	08/27/2019 01:49:50 PM		1.092 V/m	0.9640 V/m	0.8651 V/m
707	08/27/2019 01:50:00 PM		1.014 V/m	0.9212 V/m	0.8366 V/m
708	08/27/2019 01:50:10 PM		1.021 V/m	0.9523 V/m	0.8698 V/m
709	08/27/2019 01:50:20 PM		1.072 V/m	0.9541 V/m	0.8758 V/m
710	08/27/2019 01:50:30 PM		1.019 V/m	0.9590 V/m	0.8970 V/m
711	08/27/2019 01:50:40 PM		1.024 V/m	0.9476 V/m	0.8657 V/m
712	08/27/2019 01:50:50 PM		1.009 V/m	0.9352 V/m	0.8619 V/m
713	08/27/2019 01:51:00 PM		1.017 V/m	0.9437 V/m	0.8561 V/m
714	08/27/2019 01:51:10 PM		1.018 V/m	0.9210 V/m	0.8464 V/m
715	08/27/2019 01:51:20 PM		1.014 V/m	0.8711 V/m	0.7968 V/m
716	08/27/2019 01:51:30 PM		0.9682 V/m	0.8589 V/m	0.7751 V/m
717	08/27/2019 01:51:40 PM		0.9413 V/m	0.8665 V/m	0.7776 V/m
718	08/27/2019 01:51:50 PM		1.040 V/m	0.9208 V/m	0.8303 V/m
719	08/27/2019 01:52:00 PM		1.031 V/m	0.9434 V/m	0.8762 V/m
720	08/27/2019 01:52:10 PM		1.012 V/m	0.8698 V/m	0.7783 V/m

## Graph



## Parameters

---

Operating Mode	HIGH FREQUENCY
Number of Sub Indices	720
Storing Date	08/27/2019
Storing Time	11:52:10 AM
Dataset Type	TIM
Voice Comment Available	NO
Dataset Fine Type	T1
GPS Flag	DIFF
Device Product Name	NBM-550
Device Serial Number	B-0507
Device Cal Due Date	05/15/2020
Probe Product Name	EF0391
Probe Serial Number	A-0636
Probe Cal Due Date	05/16/2020
Probe Field Type	E
Probe Connection Type	A
Probe Lower Frequency Limit A	100 kHz
Probe Upper Frequency Limit A	3 GHz
Probe Lower Frequency Limit B	100 kHz
Probe Upper Frequency Limit B	3 GHz
Probe Emin A	185.0 mV/m
Probe Emax A	300.0 V/m
Probe Emin B	185.0 mV/m
Probe Emax B	300.0 V/m
Shaped Probe	NO
Standard ID	1
Standard Name	FCC 1997 Occupational
Apply Standard	OFF
Frequency	100 kHz
Apply Correction Frequency	OFF
Eref_E(f)	614.0 V/m
Eref_H(f)	614.5 V/m
Combi Probe Use	E_H
Unit	V/m
Results Format	FIXED
Auto-Zero Interval	OFF
Result Type	-
Averaging Time	-
Average Progress	-
Spatial AVG Mode	-
Store Condition	-
Storing Range	-
Cond. Stop Time	-
Upper Threshold	-
Lower Threshold	-
Timer Interval	10 sec
Timer Duration	02:00:00
History Time Scale	-
Time progress of current segment	-

**FOTOGRAFIE REJONU BADAŃ:**



Fot. 1 Rejon badań, widok w kierunku północnym (N) – skwer zieleni przed budynkiem mieszkalnym wielorodzinnym, pięciokondygnacyjnym, posesja – ul. Jesionowa 9 w Łazach;

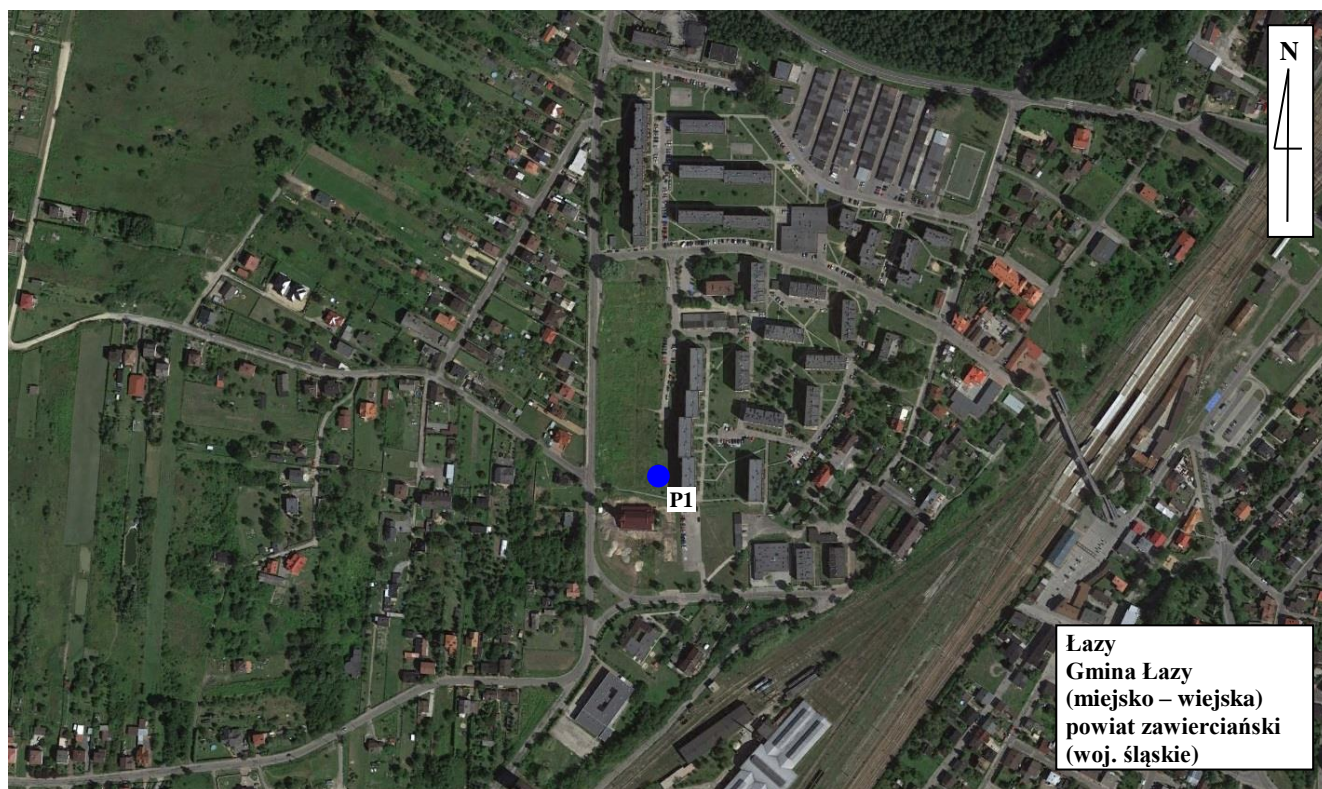




Fot. 2 Rejon badań, widok w kierunku zachodnim (W)



Fot. 3 Przyrząd pomiarowy w trakcie prowadzonego badania



Ryc. 1 Szkic sytuacyjny rejonu badań poziomów pól elektromagnetycznych w środowisku;  
Państwowy Monitoring Środowiska, 2019 rok

*Oznaczenia:*

- – P1 – punkt pomiarowy poziomów pól elektromagnetycznych w środowisku.